

Štatistická analýza tvaru a obrazu

Interdisciplinárny prístup  
postavený na matematických a štatistických základoch

Stanislav Katina

<sup>1</sup>Ústav matematiky a statistiky  
Přírodovědecká fakulta  
Masarykova Univerzita v Brně

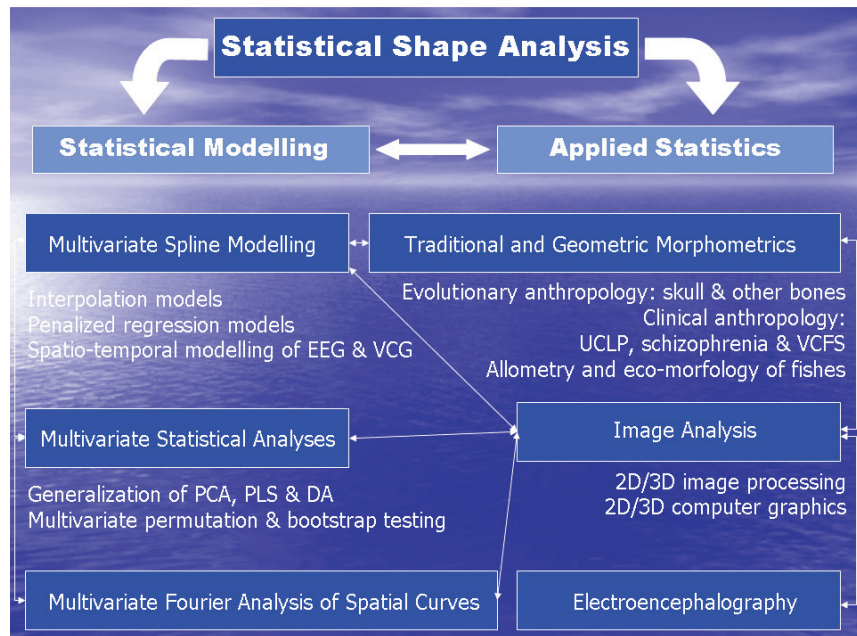
Tento učební text vznikl za přispění Evropského sociálního fondu a státního rozpočtu ČR prostřednictvím Operačního programu Vzdělávání pro konkurenčeschopnost v rámci projektu Univerzitní výuka matematiky v měnícím se světě (CZ.1.07/2.2.00/15.0203).



## INVESTICE DO ROZVOJE VZDĚLÁVÁNÍ

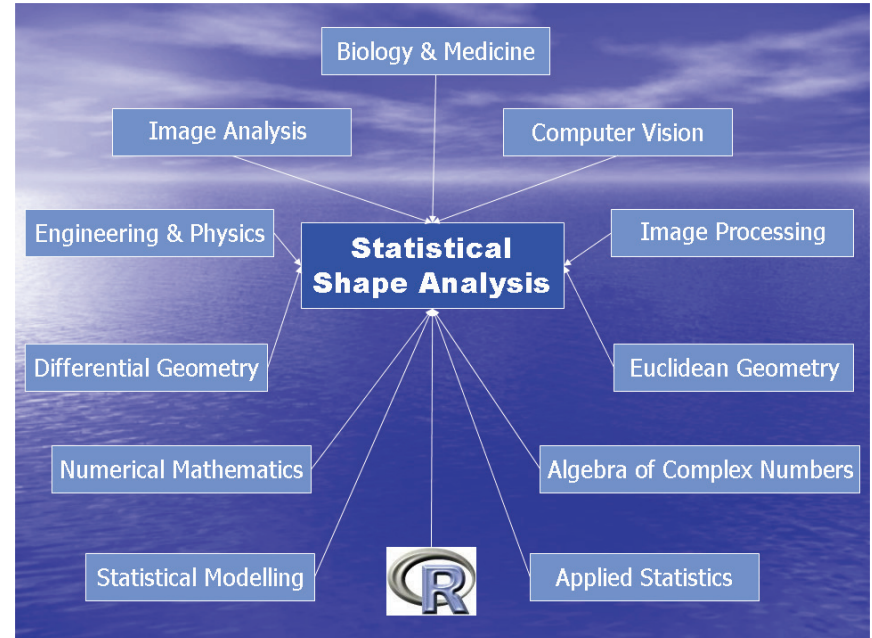
Stanislav Katina

**Shape Analysis Vision ≈ My Partial Research Tree**



Stanislav Katina

# Shape Analysis—Interdisciplinary View



Stanislav Katina

# Transformácie

## Otočenie

Definition (Otočenie a optimálne otočenie medzi dvoma objektami)

**Rotačná matica** rotácie v smere a proti smeru hodinových ručičiek má v 2D nasledovný tvar

$$\Gamma = \begin{pmatrix} \cos \theta & \sin \theta & 0 \\ -\sin \theta & \cos \theta & 0 \\ 0 & 0 & 1 \end{pmatrix}, \Gamma = \begin{pmatrix} \cos \theta & -\sin \theta & 0 \\ \sin \theta & \cos \theta & 0 \\ 0 & 0 & 1 \end{pmatrix}$$

a  $\mathbf{X}_{(k+1) \times 2} = (\mathbf{x}_1, \dots, \mathbf{x}_k, \mathbf{1}_2)^T$ . Potom dostaneme transformáciu v tvare  $\mathbf{X}_r = \mathbf{X}\boldsymbol{\Gamma}$ .

**Optimálna rotácia medzi dvoma objektami.** Nech  $\mathbf{X}_1$  a  $\mathbf{X}_2$  sú  $k \times d$  konfiguračné matice. Nech  $\Gamma$  je rotačná matica, ktorá minimalizuje  $\|\mathbf{X}_1 - \mathbf{X}_2\Gamma\|^2$  alebo maximalizuje  $\text{tr}(\mathbf{X}_1^T \mathbf{X}_2 \Gamma)$ . Optimálne znamienkovaná SVD matica  $\mathbf{X}_1^T \mathbf{X}_2$  je definovaná ako  $\mathbf{X}_1^T \mathbf{X}_2 = \mathbf{U} \Lambda \mathbf{V}^T$ , kde  $\mathbf{U}$  a  $\mathbf{V}$  sú rotačné matice a elementy matice  $\Lambda = \text{diag}(\lambda_i)$ ,  $\lambda = (\lambda_1, \dots, \lambda_d)^T$  sú optimálne znamienkované. Ďalej  $\text{tr}(\mathbf{X}_1^T \mathbf{X}_2 \Gamma) = \text{tr}(\Lambda (\mathbf{V}^T \Gamma \mathbf{U}))$  je jednoznačne maximalizovaná cez všetky rotačné matice  $\Gamma$ , kde  $\mathbf{V}^T \Gamma \mathbf{U} = \mathbf{I}$  a  $\Gamma = \mathbf{V} \mathbf{U}^T$ , z čoho vyplýva, že  $\text{tr}(\mathbf{X}_1^T \mathbf{X}_2 \Gamma) = \sum_{i=1}^d \lambda_i = \alpha$ ,  $\alpha > 0$ .

Stanislav Katina

# Transformácie

Posunutie a škálovanie

## Definition (Posunutie)

Nech  $t_{x^{(1)}}$  je translačný koeficient translácie v smere osi  $x^{(1)}$  a  $t_{x^{(2)}}$  translačný koeficient translácie v smere osi  $x^{(2)}$ , potom má **translačná matica**  $\mathbf{T}_t$  v 2D tvar

$$\mathbf{T}_t = \begin{pmatrix} 1 & 0 & t_{x^{(1)}} \\ 0 & 1 & t_{x^{(2)}} \\ 0 & 0 & 1 \end{pmatrix}.$$

Transformáciu **posunutie** píšeme v tvare  $\mathbf{X}_t = \mathbf{X}\mathbf{T}_t$ .

## Definition (Škálovanie)

Nech  $s_{x^{(1)}}$  je škálovací koeficient škálovania v smere osi  $x^{(1)}$  a  $s_{x^{(2)}}$  je škálovací koeficient škálovania v smere osi  $x^{(2)}$ , potom má **škálovacia matica**  $\mathbf{T}_{sc}$  v 2D tvar

$$\mathbf{T}_{sc} = \begin{pmatrix} s_{x^{(1)}} & 0 & 0 \\ 0 & s_{x^{(2)}} & 0 \\ 0 & 0 & 1 \end{pmatrix}.$$

Transformáciu **škálovanie** píšeme v tvare  $\mathbf{X}_{sc} = \mathbf{X}\mathbf{T}_{sc}$ .

Stanislav Katina

Štatistická analýza tvaru a obrazu

# Transformácie

Procrustova súperimpozícia—Procrustova  $k$ -bodová registrácia

Iteračný algoritmus Procrustovej superimpozície:

- 1 najprv vypočítame **centroidy**  $\bar{\mathbf{x}}_{c,i}$  každej konfiguračnej matici  $\mathbf{X}_i$ ; konfiguračné matice potom **centrujeme**, kde  $\mathbf{X}_{c,i} = \mathbf{X}_i - \mathbf{1}_k \bar{\mathbf{x}}_{c,i}^T$  (t.j. centroidy  $\bar{\mathbf{x}}_{c,i}$  sú superponované),
- 2 potom vypočítame **centroidovú veľkosť** každej matici  $\mathbf{X}_i$  (odmocnina sumy euklidovských vzdialenosí centroidu od súradníck landmarkov), t.j.  

$$CS_i = \sqrt{(\sum_{j=1}^k \|\mathbf{x}_{ij} - \bar{\mathbf{x}}_{c,i}\|_2^2)} = \|\mathbf{X}_{c,i}\| = tr(\mathbf{X}_{c,i} \mathbf{X}_{c,i}^T)$$
- 3 **centrované konfiguračné matice**  $\mathbf{X}_{c,i}$  sú preškálované tak, aby  $CS_i = 1$ , kde dostaneme **centrované normované konfiguračné matice**  $\mathbf{X}_{cn,i} = \mathbf{X}_{c,i} / \|\mathbf{X}_{c,i}\|$
- 4 každá  $\mathbf{X}_{cn,i}, i = 2, 3, \dots, n$ , je optimálne rotovaná k  $\mathbf{X}_{cn,1}$  rotačnou maticou  $\Gamma_i$ , ktorá minimalizuje  $\|\mathbf{X}_{cn,1} - \mathbf{X}_{cn,i} \Gamma_i\|^2$  alebo maximalizuje  $tr(\mathbf{X}_{cn,1}^T \mathbf{X}_{cn,i} \Gamma_i)$ , kde sme použili optimálne znamienkovanie SVD  $\mathbf{X}_{cn,1}^T \mathbf{X}_{cn,i} = \mathbf{U}_i \Lambda_i \mathbf{V}_i^T$ ,  $\mathbf{U}_i$  a  $\mathbf{V}_i$  sú rotačné matice a elementy  $\Lambda_i = diag(\lambda_i)$ ,  $\lambda_i = (\lambda_{i1}, \dots, \lambda_{idk})^T$  sú optimálne znamienkovane,  $tr(\mathbf{X}_{cn,1}^T \mathbf{X}_{cn,i} \Gamma_i) = tr(\Lambda_i (\mathbf{V}_i^T \Gamma_i \mathbf{U}_i))$  sú jednoznačne maximalizované rotačnými maticami  $\Gamma_i$ , kde  $\mathbf{V}_i^T \Gamma_i \mathbf{U}_i = \mathbf{I}$ ,  $\Gamma_i = \mathbf{V}_i \mathbf{U}_i^T$ ,  $tr(\mathbf{X}_{cn,1}^T \mathbf{X}_{cn,i} \Gamma_i) = \sum_{j=1}^d \lambda_{ij} = \alpha_j$ ,  $\alpha_j > 0$ ; výsledkom sú matice  $\mathbf{X}'_{P,i}$ ,
- 5 vypočítaj priemernú konfiguračnú maticu  $\bar{\mathbf{X}}'_P$  matíc  $\mathbf{X}'_{P,i}, i = 1, 2, \dots, n$
- 6 zopakuj (4) a (5) pokiaľ rozdiel medzi krokom  $i - 1$  a  $i$  nebude dostatočne malý

Stanislav Katina

Štatistická analýza tvaru a obrazu

# Transformácie

Procrustova súperimpozícia—Procrustova  $k$ -bodová registrácia

## Definition (Procrustove tvarové súradnice)

**Procrustove tvarové súradnice** sú definované ako  $\mathbf{x}_{P,ij} = c_i \Gamma_i (\mathbf{x}_{ij} - \mathbf{t}_i)$ , kde  $c_i$  je škálovací koeficient,  $\Gamma_i$  je rotačná matica a  $\mathbf{t}_i$  translačný koeficient,  $\mathbf{x}_{P,ij}$  sú riadky matíc  $\mathbf{X}_{P,i}, i = 1, \dots, n$ . Potom hovoríme, že  $\mathbf{X}_i, i = 1, 2, \dots, n$  sú v **optimálnej Procrustovej pozícii** v zmysle 'tvaru' ak

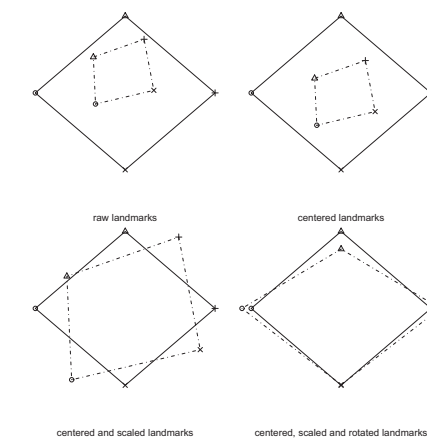
$$\arg \inf \sum_{1 \leq i \leq j \leq n} \|\mathbf{X}_{P,i} - \mathbf{X}_{P,j}\|^2 = \arg \inf_{\substack{\Gamma_1, \dots, \Gamma_n \in SO(2) \\ \mathbf{t}_1, \dots, \mathbf{t}_n \in \mathbb{R}^d, c_1, c_2, \dots, c_n \in \mathbb{R}^+}} \left\{ \sum_{1 \leq i \leq j \leq n} \left\| c_i \Gamma_i (\mathbf{x}_i - \mathbf{1}_k \mathbf{t}_i^T)^T - c_j \Gamma_j (\mathbf{x}_j - \mathbf{1}_k \mathbf{t}_j^T)^T \right\|^2 \right\}$$

Stanislav Katina

Štatistická analýza tvaru a obrazu

# Transformácie

Procrustova súperimpozícia—Procrustova  $k$ -bodová registrácia



Obrázok: Procrustova geometria

Stanislav Katina

Štatistická analýza tvaru a obrazu

# Transformácie

## Skosenie

### Definition (Skosenie)

Nech  $\alpha_{x^{(1)}}$  je koeficient skosenia pozdĺž osi  $x^{(1)}$  a  $\alpha_{x^{(2)}}$  koeficient skosenia pozdĺž osi  $x^{(2)}$ , potom **matica skosenia**  $\mathbf{T}_{sh}$  pozdĺž osi  $x^{(1)}$  a pozdĺž osi  $x^{(2)}$  má tvar

$$\mathbf{T}_{sh} = \begin{pmatrix} 1 & \tan \alpha_{x^{(1)}} & 0 \\ 0 & 1 & 0 \\ 0 & 0 & 1 \end{pmatrix}, \quad \mathbf{T}_{sh} = \begin{pmatrix} 1 & 0 & 0 \\ \tan \alpha_{x^{(2)}} & 1 & 0 \\ 0 & 0 & 1 \end{pmatrix},$$

$$\mathbf{T}_{sh} = \begin{pmatrix} 1 & \tan \alpha_{x^{(1)}} & 0 \\ \tan \alpha_{x^{(2)}} & 1 & 0 \\ 0 & 0 & 1 \end{pmatrix}.$$

Transformáciu **skosenie** píšeme v tvare  $\mathbf{X}_{sh} = \mathbf{XT}_{sh}$ .

Stanislav Katina

Štatistická analýza tvaru a obrazu

# Transformácie

## Affinna a neaffinna transformácia

### Definition (Affinna a neaffinna transformácia)

Majme mnohorozmerný lineárny regresný model (*MMLRM, Multivariate Multiple Linear Regression Model*)  $k \times d$  matíc  $\mathbf{X}_{P,i}$  ( $d = 2, 3$ ) na  $\bar{\mathbf{X}}_P$  definovaný ako

$$\mathbf{X}_{P,i} = \bar{\mathbf{X}}_P \beta_i + \epsilon_i; \hat{\beta}_i = (\bar{\mathbf{X}}_P^T \bar{\mathbf{X}}_P)^{-1} \bar{\mathbf{X}}_P^T \mathbf{X}_{P,i}, i = 1, 2, \dots, n.$$

Nech  $\hat{\beta}_i = (\hat{\beta}_{i1}; \hat{\beta}_{i2})$  pre 2D a  $\hat{\beta}_i = (\hat{\beta}_{i1}; \hat{\beta}_{i2}; \hat{\beta}_{i3})$  pre 3D, potom

① **afínne procrustove súradnice:**  $\mathbf{X}_{A,i} = \mathbf{X}_{P,i} \hat{\beta}_i$

② **neafínne procrustove súradnice** (reziduály MMLRM):

$$\mathbf{X}_{NA,i} = \bar{\mathbf{X}}_P + (\mathbf{X}_{P,i} - \mathbf{X}_{A,i})$$

Stanislav Katina

Štatistická analýza tvaru a obrazu

# Transformácie

## Zrkadlenie

### Definition (Zrkadlenie)

Nech **matica zrkadlenia**  $\mathbf{T}_r$  osovej súmernosti okolo osi  $x^{(1)}$  a  $x^{(2)}$  má tvar

$$\mathbf{T}_r = \begin{pmatrix} 1 & 0 & 0 \\ 0 & -1 & 0 \\ 0 & 0 & 1 \end{pmatrix}, \quad \mathbf{T}_r = \begin{pmatrix} -1 & 0 & 0 \\ 0 & 1 & 0 \\ 0 & 0 & 1 \end{pmatrix}.$$

Transformáciu **zrkadlenie** píšeme v tvare  $\mathbf{X}_r = \mathbf{XT}_r$ .

### Definition (Preznačené a zrkadlovo súmerné Prokrustove súradnice)

Nech **Q** je permutačná matica, ktorá preznačí každý každý párových landmarkov (vymení kódovanie ľavý za pravý landmark a naopak), nech **A** je ortogonálna matica s determinantom rovným  $-1$ . Potom

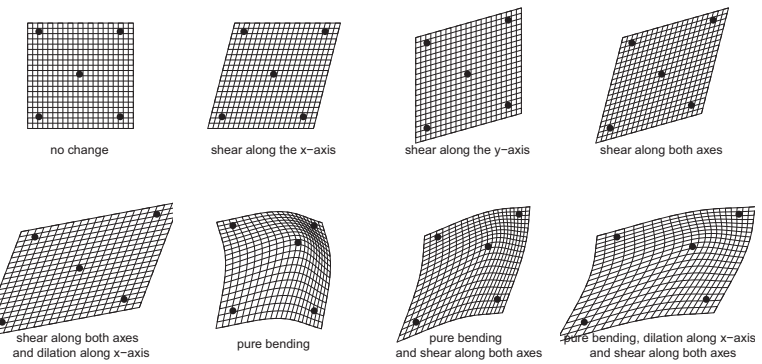
$\mathbf{X}_{P,i}^{(R)} = \mathbf{QA}_i \mathbf{X}_{P,i}$  sú matice preznačených a zrkadlovo súmerných (relabeled and reflected) **Procrustových tvarových súradníc**. V prípade, že MNŠ priamka, na ktorej ležia všetky nepárové landmarky je zároveň aj osou y (hovoríme, že tvar charakterizovaný landmarkami je vhodne orientovaný), potom  $\mathbf{A} = \mathbf{T}_r$ .

Stanislav Katina

Štatistická analýza tvaru a obrazu

# Transformácie

## Affinne a neaffinne transformácie



**Obrázok:** Affinne a neaffinne transformácie – affinne transformácie (prvý riadok a prvý obrázok druhého riadka), neaffinna transformácia (druhý obrázok druhého riadka) a zložené transformácie (tretí a štvrtý obrázok druhého riadka)

Stanislav Katina

Štatistická analýza tvaru a obrazu

## Example 1

Interpolačný a vyhľadzovací regresný splajn

### Example (DÚ 1)

Majme interpolačný model [IM1] ( $f : \mathbb{R} \rightarrow \mathbb{R}$ )

$$\begin{pmatrix} \mathbf{y} \\ 0 \\ 0 \end{pmatrix} = \mathbf{X}\beta, \mathbf{X} = \begin{pmatrix} \mathbf{S} & \mathbf{1}_k & \mathbf{x} \\ \mathbf{1}_k^T & 0 & 0 \\ \mathbf{x}^T & 0 & 0 \end{pmatrix}, \beta = \begin{pmatrix} \mathbf{w} \\ c \\ a \end{pmatrix}$$

kde  $\mathbf{x}_{k \times 1} = (x_1, \dots, x_k)^T$ ,  $\mathbf{y}_{k \times 1} = (y_1, y_2, \dots, y_k)^T$ ,  $(\mathbf{S})_{ij} = \phi(x_i, x_j) = \frac{1}{12} |x_i - x_j|^3$ .

1.1) Je vyššie uvedený model identický s modelom [IM2]

$$\begin{pmatrix} \mathbf{y} \\ 0 \\ 0 \end{pmatrix} = \mathbf{X}^* \beta^*, \mathbf{X}^* = \begin{pmatrix} \mathbf{1}_k & \mathbf{x} & \mathbf{S} \\ 0 & 0 & \mathbf{x}^T \\ 0 & 0 & \mathbf{1}_k^T \end{pmatrix}, \beta^* = \begin{pmatrix} c \\ a \\ \mathbf{w} \end{pmatrix}?$$

1.2) Prečo musí byť matica plánu v podobe  $\mathbf{X}$  v modeli IM1 alebo  $\mathbf{X}^*$  v modeli IM2?

1.3) Ako vypočítame odhady  $\hat{\beta}$  a  $\hat{\beta}^*$ ? [napísat vzorec] Akú funkciu v  $\mathbb{R}$  na to použijeme?

1.4) V akom vzťahu je odhad  $\hat{\mathbf{y}}$  k realizáciám  $\mathbf{y}$ ?

Stanislav Katina

Štatistická analýza tvaru a obrazu

## Example 2

Interpolačný a vyhľadzovací regresný splajn

Pozn.: Po derivovaní  $SS_{pen}$  podľa  $\beta$  a položení tejto prvej derivácie rovné nule, dostaneme  $(\mathbf{X}_{dm}^T \mathbf{X}_{dm} + \lambda \mathbf{S}_P) \hat{\beta} = \mathbf{X}_{dm}^T \mathbf{y}$ , kde  $\hat{\beta} = (\mathbf{X}_{dm}^T \mathbf{X}_{dm} + \lambda \mathbf{S}_P)^{-1} \mathbf{X}_{dm}^T \mathbf{y}$ , "hat" (projekčná) matica  $\mathbf{A} = \mathbf{X}_{dm} (\mathbf{X}_{dm}^T \mathbf{X}_{dm} + \lambda \mathbf{S}_P)^{-1} \mathbf{X}_{dm}^T$  a potom  $\hat{\mathbf{y}} = \mathbf{A} \mathbf{y}$ . Efektívnejšie je použiť funkciu `lm(yp~xp-1)` použitím vektora  $\mathbf{y}_P$  a matice  $\mathbf{X}_P$  z modelu PRM1 (funkcia `lm()` používa na výpočet QR rozklad a nie maticu  $\mathbf{A}$ —pozri prednášky z numerickej matematiky).

2.1) Použitím IM1 naprogramujte v  $\mathbb{R}$  funkciu na výpočet interpolačného splajnu pre dátu  $\mathbf{y}$  a odhadnite  $\hat{\mathbf{y}}$ . Výsledky skontrolujte použitím funkcie `spline(x, y, method = "natural")`. Nakreslite rozptylový graf ( $x_j, y_j$ ) spolu s krivkou ( $x_j, \hat{y}_j$ ). Použite funkcie `plot(x, y)`, `lines(x, y)`.  
2.2) Použitím PRM1 naprogramujte v  $\mathbb{R}$  funkciu na výpočet penalizovaného regresného splajnu pre dátu  $\mathbf{y}$  a odhadnite  $\hat{\mathbf{y}}$  pre  $\lambda = 4.774251 \times 10^{-6}$ . Výsledky skontrolujte použitím funkcie `smooth.spline(x, y, all.knots = TRUE)` a porovnajte s polynomickým regresným modelom 12-teho stupňa (použite funkciu `lm(y~poly(x, 12))`). Nakreslite rozptylový graf ( $x_j, y_j$ ) spolu s krivkou ( $x_j, \hat{y}_j$ ). Použite funkcie `plot(x, y)`, `lines(x, y)`.  
Pomôcka: odmocninu matice  $\mathbf{S}_P$  vypočítame pomocou SVD `eigen(S_p, symmetric=TRUE)`  
2.3) Popíšte rozdiel medzi odhadmi IM1 a PRM1.

Stanislav Katina

Štatistická analýza tvaru a obrazu

## Example 2

Interpolačný a vyhľadzovací regresný splajn

### Example (DÚ 2)

Majme model  $y_i = \sin(2\pi x_i^3)^3 + \epsilon$ , kde  $x_i \in (0, 1)$ ,  $\epsilon \sim 0.1 \times N(0, 1)$ ,  $n = 101$ . V R zapíšeme tento model v podobe

```
sinusovka <- function(x)
x <- seq(0, 1, by=0.01)
y <- sinusovka(x) + 0.1*rnorm(101)
```

Majme penalizovaný regresný model [PRM1]

$$\mathbf{y}_P = \begin{pmatrix} \mathbf{y} \\ \mathbf{0}_{k+2} \end{pmatrix} = \mathbf{X}_P \beta + \epsilon, \mathbf{X}_P = \begin{pmatrix} \mathbf{X}_{dm} \\ \sqrt{\lambda} \mathbf{R} \end{pmatrix}, \mathbf{S}_P = \begin{pmatrix} \mathbf{0}_{2 \times 2} & \mathbf{0}_{2 \times k} \\ \mathbf{0}_{k \times 2} & \mathbf{S} \end{pmatrix},$$

kde  $\mathbf{X}_{dm} = (\mathbf{1}_k \mathbf{x} \mathbf{S})$  je **penalizovaná časť maticy plánu**,  $(\mathbf{S})_{ij} = \phi(x_i, x_j) = \frac{1}{12} |x_i - x_j|^3$ ,  $\mathbf{S}_P = \mathbf{R}^T \mathbf{R}$  a  $\sqrt{\lambda} \mathbf{R}$  je **penalizovaná časť maticy plánu**. Potom penalizovanú sumu štvorcov budeme písť v tvare  $SS_{pen} = (\mathbf{y} - \mathbf{X}_{dm} \beta)^T (\mathbf{y} - \mathbf{X}_{dm} \beta) + \lambda \beta^T \mathbf{S}_P \beta = \mathbf{y}^T \mathbf{y} - 2\beta^T \mathbf{X}_{dm}^T \mathbf{y} + \beta^T (\mathbf{X}_{dm}^T \mathbf{X}_{dm} + \lambda \mathbf{S}_P) \beta$ .

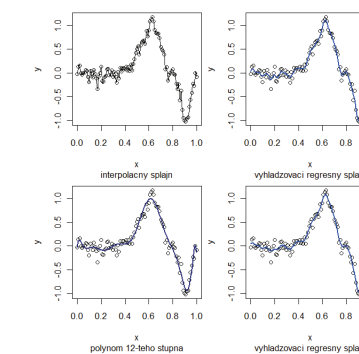
Stanislav Katina

Štatistická analýza tvaru a obrazu

## Example 2

Interpolačný a vyhľadzovací regresný splajn

Graf bude vyzeráť podobne ako nasledujúci.



Obrázok: Model  $y_i = \sin(2\pi x_i^3)^3 + \epsilon$ , kde  $\epsilon \sim 0.1 \times N(0, 1)$ ,  $n = 101$ ; interpolačný splajn (vľavo hore), polynomický regresný model 12-teho stupňa (vľavo dole), vyhľadzovací regresný splajn ( $\lambda = 4.774251 \times 10^{-6}$ , vpravo hore a dole)

Stanislav Katina

Štatistická analýza tvaru a obrazu

## Example 3

Interpoláčny splajn

### Example (DÚ 3)

Majme interpoláčny model [IM1] a krivku  $\mathbf{X}$  definovanú bodmi  $(x_j^{(1)}, x_j^{(2)})$ , kde  $j = 1, 2, \dots, k$  a  $\mathbf{X}$  je matica rozmerov  $k \times 2$ . Nech  $\mathbf{d}_{ch}$  je vektor  $k$  **chordálnych (uhlových) vzdialenosťí**, kde  $d_{ch}^{(j)}$  zodpovedá vzdialenosť bodov  $(x_{j-1}^{(1)}, x_{j-1}^{(2)})$  a  $(x_j^{(1)}, x_j^{(2)})$  krivky  $\mathbf{X}$ ,  $j = 2, 3, \dots, k$ ;  $d_{ch}^{(1)} = 0$ . IM1 je počítaný pre  $(d_{ch}^{(j)}, x_j^{(1)})$  a  $(d_{ch}^{(j)}, x_j^{(2)})$ ;  $j = 1, 2, \dots, k$  osobitne; vizualizujeme krivku  $\hat{\mathbf{X}}$  s  $k$  odhadnutými bodmi, kde  $j$ -ty bod je rovný  $(\hat{x}_j^{(1)}, \hat{x}_j^{(2)})$ ,  $j = 1, 2, \dots, k$ .  $\mathbf{X}$  sa nazýva **resamplovaná interpolovaná krivka  $\mathbf{X}$** .

3.1) Použitím IM1 interpolujte symphyseálnu krivku ( $k = 21$ ; dátá *sympysis*) a resamplojujte jej odhadnuté body pre  $k_l = 50$ . Použite pritom funkcie "cumchord" <- function(X)  
cumsum(sqrt(apply((X-rbind(X[1], X[-(nrow(X),)]))^2, 1, sum)));  
CH <- cumchord(X); spline(CHD, ..., method="natural"); approx();  
plot(..., asp=1, axes=FALSE); lines(); points(). (Načítanie dát:  
read.table("sympysis.txt", header=TRUE)).

Stanislav Katina

Štatistická analýza tvaru a obrazu

## Example 4

Interpoláčny splajn

### Example (DÚ 4)

Majme interpoláčny model [IM3; thin-plate splajn, TPS] ( $f : \mathbb{R}^2 \rightarrow \mathbb{R}^2$ )

$$\begin{pmatrix} \mathbf{Y} \\ \mathbf{0} \\ \mathbf{0} \end{pmatrix} = \begin{pmatrix} \mathbf{S} & \mathbf{1}_k & \mathbf{X} \\ \mathbf{1}_k^T & 0 & \mathbf{0} \\ \mathbf{X}^T & 0 & \mathbf{0} \end{pmatrix} \begin{pmatrix} \mathbf{W} \\ \mathbf{c}^T \\ \mathbf{A} \end{pmatrix},$$

kde  $\mathbf{X} = (\mathbf{x}_1, \dots, \mathbf{x}_k)^T$  a  $\mathbf{Y} = (\mathbf{y}_1, \dots, \mathbf{y}_k)^T$ ,  $(\mathbf{S})_{ij} = \phi(\mathbf{x}_i - \mathbf{x}_j)$ ,  $\phi(\mathbf{x}) = \|\mathbf{x}\|_2^2 \log(\|\mathbf{x}\|_2^2)$ ,  $\forall \|\mathbf{x}\|_2 > 0$ , ak  $\|\mathbf{x}\|_2 = 0$ , potom  $\phi(\mathbf{x}) = 0$ . Potom extrapolácia IM3 bude definovaná ako  $\mathbf{Y}_l \mapsto \mathbf{X} + l \times (\mathbf{X} - \mathbf{Y})$ , kde  $l \in \mathbb{R}$ .

4.1) Použite IM3 (pre  $l = 0$ ) a jeho  $l$ -násobnú extrapoláciu ( $l$  zvolte ľubovoľne) na deformáciu kosoštvorca na deltoid (ich súradnice zvolte ľubovoľne). Použite poznámku a programy uvedené na nasledujúcich troch slajdoch. Naprogramujte v R.

4.2) Transformujte štvorec. Použite skosenie pozdĺž osi x (A) a pozdĺž osi y (B), skosenie pozdĺž oboch osí (C), skosenie pozdĺž oboch osí kombinované so škálovaním pozdĺž osi x (D) a pozdĺž osi y (E). Zapište použité transformačné matice.

Naprogramujte v R. (teória viď. slajdy o transformáciách)

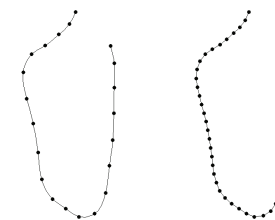
Stanislav Katina

Štatistická analýza tvaru a obrazu

## Example 3

Interpoláčny a vyhľadzovací regresný splajn

Graf bude vyzeráť podobne ako nasledujúci.



Obrázok: Interpolovaná ( $k = 21$ ; vľavo) a resamplovaná ( $k_l = 50$ ; vpravo) symphyseálna krivka

Stanislav Katina

Štatistická analýza tvaru a obrazu

## Example 4

Interpoláčny splajn IM3

Pozn. 1: TPS používame aj ako zobrazovaci metódu, kedy hovoríme o **(ne)deformovanej štvorcovej TPS sieti** – kde ide o (nedeformovanú) štvorcovú sieť pre model  $f : \mathbf{X} \mapsto \mathbf{Y}$  a deformovanú štvorcovú sieť pre model  $f : \mathbf{X} \mapsto \mathbf{Y}_l$ . Ide v podstate o IM3 definovaný pre všetky uzly siete, kde  $\mathbf{y}_j = \mathbf{f}(\mathbf{x}_j)$ ,  $j = 1, \dots, n_{cp}$ ;  $n_{cp}$  ( $cp$  znamená "crossing points") je počet uzlov siete (je jednoduché model predefinovať na (ne)deformovanú obdlžníkovú TPS sieť). V TPS  $f : \mathbf{X} \mapsto \mathbf{Y}_l$  sa použijú odhadnuté koeficienty  $\mathbf{W}$ ,  $\mathbf{c}$  a  $\mathbf{A}$  na interpolovanie uzlov siete. Jednotlivé uzly sú potom pospájané (v smere oboch osí pre rovnaké  $j$ ) *lokálne lineárne* (úsečkami) alebo *interpolovanou krivkou* (použitím IM1 ako v DÚ 3).

Pozn. 2: Treba si uvedomiť, že kosoštvorce a deltoide musia mať rovnakú **centroidovú veľkosť (CS)** a musia byť optimálne rotované jeden na druhý použitím **optimálne znamienkovej SVD** (viď. slajdy o transformáciach).

R-funkcie na výpočet TPS siete sú zobrazené na nasledujúcich dvoch slajdoch. Okrem nich použite aj funkcie `plot(..., asp=1, axes=FALSE); lines(); points(); arrows(..., length=0.1, lwd=2)`

Stanislav Katina

Štatistická analýza tvaru a obrazu

## Example 4

### Interpoláčny splajn IM3

```
"tps2d" <- function(M, X, Y){
## M = uzly siete (počet uzlov = n)
## X (vzor)
## Y (obraz)
k <- dim(X)[1]; n <- dim(M)[1]
P <- matrix(NA, k, k)
for (i in 1:k) {
for (j in 1:k) {
r2 <- sum((X[i,] - X[j,])^2)
P[i,j] <- r2*log(r2) }
}
P[which(is.na(P))] <- 0
Q <- cbind(1, X)
L <- rbind(cbind(P,Q), cbind(t(Q),matrix(0,3,3)))
Y2 <- rbind(Y, matrix(0, 3, 2))
coefx <- solve(L) %*% Y2[,1]
coefy <- solve(L) %*% Y2[,2]
"fx" <- function(X, M, coef) {
Xn <- numeric(n)
for (i in 1:n) {
W <- apply((X-matrix(M[i,],k,2,byrow=TRUE))^2,1,sum)
Xn[i] <- coef[k+1]+coef[k+2]*M[i,1]+coef[k+3]*M[i,2]+sum(coef[1:k]* (W*log(W))) }
Xn }
Ytps <- matrix(NA, n, 2)
Ytps[,1]<-fx(X, M, coefx)
Ytps[,2]<-fx(X, M, coefy)
return(Ytps) }
```

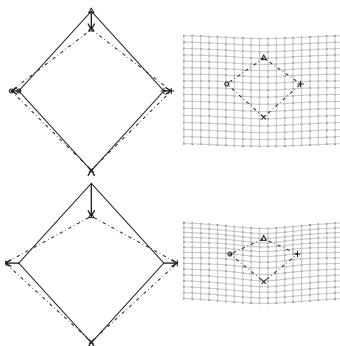
Stanislav Katina

Štatistická analýza tvaru a obrazu

## Example 4

### Interpoláčny splajn

Graf bude vyzeráť podobne ako nasledujúci.



**Obrázok:** Interpolácia kosoštvorca na deltoid pre  $l = 0$  (hore) a  $l = 1$  (dole); zobrazenie pomocou vektorového poľa (vľavo) a deformovanej obdĺžnikovej TPS siete (vpravo)

Stanislav Katina

Štatistická analýza tvaru a obrazu

## Example 4

### Interpoláčny splajn IM3

```
"tps.siet" <- function(X, Y, n){
## X (vzor)
## Y (obraz)
## počet uzlov siete = n
xm <- min(Y[,1])
ym <- min(Y[,2])
xM <- max(Y[,1])
yM <- max(Y[,2])
rX <- xM - xm; rY <- yM - ym
a <- seq(xm - 1/5 * rX, xM + 1/5 * rX, length=n)
b <- seq(ym - 1/5 * rY, yM + 1/5 * rY, by = (xM - xm) * 7/(5 * (n-1)))
m <- round(0.5 + (n-1) * (2/5 * rX + yM - ym)/(2/5 * rX + xM - xm))
M <- as.matrix(expand.grid(a,b))
ngrid <- tps2d(M,X,Y)
plot(ngrid, cex=0.2, asp=1, axes=FALSE, xlab="", ylab="")
for (i in 1:m) lines(ngrid[(1:n) + (i-1)*n,])
for (i in 1:n) lines(ngrid[(1:m) * n-i+1,])
}
```

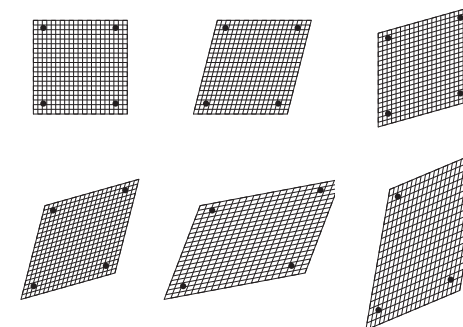
Stanislav Katina

Štatistická analýza tvaru a obrazu

## Example 4

### Interpoláčny splajn

Grafy budú vyzeráť podobne ako nasledujúce.



**Obrázok:** Transformácie

Stanislav Katina

Štatistická analýza tvaru a obrazu

## Example 5

Transformácie v praxi

### Example (DÚ 5)

Vieme, že uhol  $\alpha$  (v radiánoch) medzi dvoma vektormi  $\mathbf{v}_1$  a  $\mathbf{v}_2$  vypočítame ako  $\cos^{-1}\left(\frac{\mathbf{v}_1 \cdot \mathbf{v}_2}{\|\mathbf{v}_1\| \|\mathbf{v}_2\|}\right)$ . Majme tvár s  $k = 34$  (semi)landmarkami (dáta `face`), kde  $d = 2$ , ktorých súradnice sú zapísané v matici  $\mathbf{X}$ . Landmarky trichion  $\mathbf{l}_1$  a gnathion  $\mathbf{l}_{31}$  tvoria úsečku  $(\mathbf{l}_1, \mathbf{l}_{31})$ , ktorá nie je rovnobežná s osou  $y$ .

5.1) Identifikujte uhol úsečky  $(\mathbf{l}_1, \mathbf{l}_{31})$  a osi  $y$  a rotujte tvár  $\mathbf{X}$  tak, aby bola  $(\mathbf{l}_1, \mathbf{l}_{31})$  orientovaná rovnobežne s touto osou, rotovanú tvár ozn.  $\mathbf{X}_{\text{opt}}$ . Zobrazte obe tváre.

Pozn.: Naprogramujte v R. Najprv funkciu na výpočet uhla ľubovoľnej úsečky a osi  $y$ . Potom použite rotačnú maticu (definovanú na slajdoch o transformáciách) na rotáciu tváre do požadovanej polohy. Vizualizácia (semi)landmarkov môže byť vylepšená pomocou úsečiek, ktoré spájajú vybrané landmarky tak, aby sa zviditeľnili vybrané anatomické časti tváre ako pery, nos, oči, oboče a brada. Takto množina úsečiek je definovaná v súbore `wireframe.txt`, ktorý použijte na vizualizáciu. Koncové body úsečiek sú tu definované pomocou 30tich ID riadkov z dátového rámca `face.txt`. Použite aj funkcie `plot(..., asp=1, axes= FALSE); lines(); points()`. (Načítanie dát: `read.table("face.txt", header=TRUE)`).

Stanislav Katina

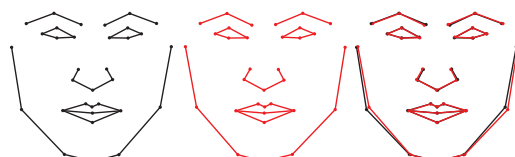
Štatistická analýza tvaru a obrazu

## Example 5

Transformácie v praxi

### Example (pokrač.)

Majme tvár s  $k = 34$  (semi)landmarkami (dáta `face`), kde  $d = 2$ , ktorých súradnice sú zapísané v matici  $\mathbf{X}$  (príklad 5). Použite vhodne orientovanú (optimálne rotovanú) konfiguračnú maticu  $\mathbf{X}$  na preznačenie ľavých párových landmarkov na pravé a naopak pomocou permutačnej matice  $\mathbf{Q}$ , potom aplikujte transformáciu zrkadlenie okolo osi  $y$  ( $x^{(2)}$ ) s maticou zrkadlenia  $\mathbf{T}_r$ , tak, aby ste dostali **maticu preznačených a zrkadlovo súmerných súradníck  $\mathbf{X}^{(R)} = \mathbf{QT}_r \mathbf{X}$** .



Obrázok: Originálna tvár (vľavo), preznačená a zrkadlovo súmerná tvár (v strede) a obe tváre superponované (vpravo)

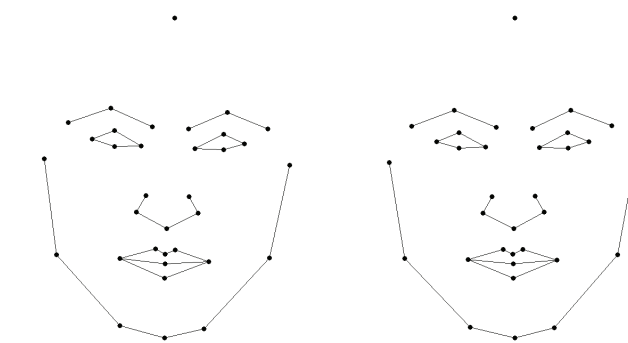
Stanislav Katina

Štatistická analýza tvaru a obrazu

## Example 5

Transformácie v praxi

Obrázky budú vyzeráť ako nasledujúce.



Obrázok: Tvár pred (vľavo) a po rotácii (vpravo)

Stanislav Katina

Štatistická analýza tvaru a obrazu

## Example 6

Transformácie v praxi

### Example (DÚ 6)

Majme súradnice  $k = 18$  landmarkov ryby sumček čiernej (*Ameiurus melas*) zapísané v matici  $\mathbf{X}$  (dáta `ryba`). Rotácia ryby nie je správna. Ako optimálna sa javí rotácia do smeru najväčšej variability, ktorý nájdeme pomocou SVD rozkladu kovariančnej matice  $\text{Var}(\mathbf{X})$ , kde matica vlastných vektorov predstavuje rotačnú maticu (viď. slajdy o transformáciách). Problémom však je, ak je os *prvého hlavného komponentu* otočená o  $\pi$  rad (do opačného smeru), t.j. ryba ( $\mathbf{X}_{\text{opt}}$ ) je otočená ventrálnej stranou nahor. V tomto prípade je potrebné  $\mathbf{X}_{\text{opt}}$  otočiť o  $-\pi$  rad do správneho smeru. Ako prostriedok slúži znamienko determinantu  $\det(\mathbf{X}_\Delta)$ , kde riadky matice  $\mathbf{X}_\Delta$  predstavujú tzv. rozšírené súradnice vrcholov  $\triangle(\mathbf{l}_7, \mathbf{l}_{12}, \mathbf{l}_{17})$  s doplnenou treťou súradnicou rovnou 1, kde prvé dva body (tu apex  $\mathbf{l}_7$  a bod zárezu chvostovej plutvy  $\mathbf{l}_{12}$ ) sú body hlavnej osi tela a tretí bod je ľubovoľný bod v hornej polovici tela (tu  $\mathbf{l}_{17}$ ). Ak je toto znamienko záporné, je nutné  $\mathbf{X}_{\text{opt}}$  otočiť o uhol  $-\pi$  rad.

Stanislav Katina

Štatistická analýza tvaru a obrazu

## Example 5

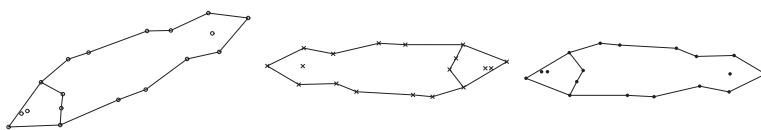
Transformácie v praxi

6.1) Otočte  $\mathbf{X}$  do  $\mathbf{X}_{\text{opt}}$  a v prípade potreby skorigujte smer orientácie (pomocou `if` v R programe). Naprogramujte v R.

Pospájajte landmarky na obrys ryby a v zadnej časti hlavy úsečkami kvôli vylepšeniu zobrazenia. Použite funkcie `eigen(var(X),sign(...))` a `det(...)`. Použite aj funkcie `plot(...,asp=1,axes= FALSE); lines(); points()`. (Načítanie dát: `read.table("ryba.txt", header=TRUE)`).

6.2) Prečo závisí smer orientácie matice  $\mathbf{X}_{\text{opt}}$  od znamienka  $\det(\mathbf{X}_{\Delta})$ ? Ide o dôsledok dôkazu výpočtu obsahu trojuholníka pomocou determinantu, kde zoradenie vrcholov proti smeru hodinových ručičiek dáva znamienko kladné a zoradenie vrcholov v smere hodinových ručičiek dáva znamienko záporné. Dokážte.

Obrázky budú vyzeráť ako nasledujúce.



**Obrázok:** Ryba pred rotáciou (vľavo), rotovaná do smeru najväčšej variability v opačnom smere (v strede) a v správnom smere (vpravo)

Stanislav Katina

Štatistická analýza tvaru a obrazu

## Example 8

Vyhľadzovací regresný splajn

### Example (DÚ8)

Majme tvár (dáta `face`) z DÚ 5 optimálne rotovanú a doplnenú o jeden landmark so súradnicami  $\mathbf{l}_{35}^x = (1.933765, -41.093985)$  a nazveme ho *pronasale*, maticu označme ako  $\mathbf{X}$ . Ozn.  $\mathbf{Y}$  maticu identickú s maticou  $\mathbf{X}$  až na súradnice bodu *pronasale*,  $\mathbf{l}_{35}^y = (1.933765, 50.000000)$ . Majme penalizovaný regresný model [PRM3]

$$\mathbf{Y}_P = \begin{pmatrix} \mathbf{Y} \\ \mathbf{0}_{k+3} \end{pmatrix} = \mathbf{X}_P \beta + \epsilon, \mathbf{X}_P = \begin{pmatrix} \mathbf{X}_{\text{dm}} \\ \sqrt{\lambda} \mathbf{R} \end{pmatrix}, \mathbf{S}_P = \begin{pmatrix} \mathbf{0}_{3 \times 3} & \mathbf{0}_{3 \times k} \\ \mathbf{0}_{k \times 3} & \mathbf{S} \end{pmatrix},$$

kde  $\mathbf{X}_{\text{dm}} = (\mathbf{1}_k : \mathbf{X} : \mathbf{S})$  je **penalizovaná časť matice plánu**,  $(\mathbf{S})_{ij} = \phi(\mathbf{x}_i - \mathbf{x}_j)$ ,  $\phi(\mathbf{x}) = \|\mathbf{x}\|_2^2 \log(\|\mathbf{x}\|_2^2)$ ,  $\forall \|\mathbf{x}\|_2 > 0$ , ak  $\|\mathbf{x}\|_2 = 0$ , potom  $\phi(\mathbf{x}) = 0$ ;  $\mathbf{S}_P = \mathbf{R}^T \mathbf{R}$  a  $\sqrt{\lambda} \mathbf{R}$  je **penalizovaná časť matice plánu**. Potom penalizovanú sumu štvorcov budeme písati v tvare  $\text{SS}_{\text{pen}} = (\mathbf{Y} - \mathbf{X}_{\text{dm}} \beta)^T (\mathbf{Y} - \mathbf{X}_{\text{dm}} \beta) + \lambda \beta^T \mathbf{S}_P \beta = \mathbf{Y}^T \mathbf{Y} - 2\beta^T \mathbf{X}_{\text{dm}}^T \mathbf{Y} + \beta^T (\mathbf{X}_{\text{dm}}^T \mathbf{X}_{\text{dm}} + \lambda \mathbf{S}_P) \beta$ .

Stanislav Katina

Štatistická analýza tvaru a obrazu

## Example 7

Transformácie v praxi

### Example (DÚ 7)

Majme dátá `gorf.dat`, ktoré sú v knižnici `shapes` a predstavujú súradnice  $k = 8$  landmarkov na lebkách  $n = 30$  samíc goril (*Gorilla gorilla*). Vrcholy  $\mathbf{X}_{\Delta}$  sú landmarky  $\mathbf{l}_1, \mathbf{l}_2$  a  $\mathbf{l}_8$ . Detaily o GPA nájdete na slajdoch o transformáciach.

7.1) Registrujte súradnice landmarkov `gorf.dat` do tvarového priestoru pomocou zovšeobecnenej procrustovskej analýzy (GPA) a aplikujte algoritmus výpočtu rotácie do smeru najväčšej variability z DÚ6. Použite funkciu `procGPA(...)$rotated` (GPA), kde výstupom je pole rozmeru  $8 \times 2 \times 30$  **procrustovských tvarových súradníč**.

Obrázky budú vyzeráť ako nasledujúce.



**Obrázok:** Lebka gorily pred rotáciou (vľavo), rotovaná do smeru najväčšej variability v opačnom smere (v strede) a v správnom smere (vpravo)

Stanislav Katina

Štatistická analýza tvaru a obrazu

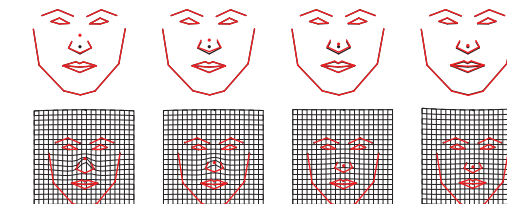
## Example 8

Vyhľadzovací regresný splajn

Pozn.: Po derivovaní  $\text{SS}_{\text{pen}}$  podľa  $\beta$  a položení tejto prvej derivácie rovné nule, dostaneme  $(\mathbf{X}_{\text{dm}}^T \mathbf{X}_{\text{dm}} + \lambda \mathbf{S}_P) \hat{\beta} = \mathbf{X}_{\text{dm}}^T \mathbf{Y}$ , odkiaľ  $\hat{\beta} = (\mathbf{X}_{\text{dm}}^T \mathbf{X}_{\text{dm}} + \lambda \mathbf{S}_P)^{-1} \mathbf{X}_{\text{dm}}^T \mathbf{Y}$ , "hat" (projekčná) matica  $\mathbf{A} = \mathbf{X}_{\text{dm}} (\mathbf{X}_{\text{dm}}^T \mathbf{X}_{\text{dm}} + \lambda \mathbf{S}_P)^{-1} \mathbf{X}_{\text{dm}}^T$  a potom  $\hat{\mathbf{Y}} = \mathbf{AY}$ . Efektívnejšie je použiť funkciu `lm(Y_P ~ X_P - 1)` použitím matíc  $\mathbf{Y}_P$  a  $\mathbf{X}_P$  z modelu PRM3.

8.1) Použitím PRM3 naprogramujte v R funkciu na výpočet penalizovaného regresného splajnu pre dátu  $\mathbf{Y}$  a odhadnite  $\hat{\mathbf{Y}}$  pre  $\lambda = \{10^3, 10^4, 10^5, 10^6\}$ . Zobrazte tvár  $\mathbf{X}$  čierrou farbou a tváre  $\hat{\mathbf{Y}}_\lambda$  červenou. Okomentujte rozdiely medzi jednotlivými  $\hat{\mathbf{Y}}_\lambda$ .  
Pomôcka: mierne modifikujte program z DÚ2

Obrázky budú vyzeráť ako nasledujúce.



**Obrázok:** Sekvencia tvári pre  $\lambda = \{10^3, 10^4, 10^5, 10^6\}$

Stanislav Katina

Štatistická analýza tvaru a obrazu

## Example 9

Analýza tvaru EEG – definícia UI 10-10, 10-20 a 10-5 systému elektród

### Definition (10-20 systém)

**10-20 systém** je vytvorený na základe vzťahu medzi polohou elektród a oblasťou mozgovej kôry ležiacou pod nimi. Každý bod má prisluhujúce písmeno na identifikáciu laloka mozgu, ku ktorému patrí a číslo alebo iné písmeno na identifikáciu ľavej alebo pravej hemisféry. Písmená F, T, C, P a O znamenajú po rade **frontálny, temporálny, centrálny, parietálny a okcipitálny**. Treba si uvedomiť, že centrálny lalok neexistuje, ale tento pojem tu súvisí s identifikáciou polohy. **Nepárne čísla** (1,3,5 a 7) prisluhajú **ľavej hemisféri a párnemu číslu** (2,4,6 a 8) **pravej hemisféri**. Písmeno "z" prisluhuje elektróde umiestnenej v prostredku krivky. Menšie číslo identifikuje elektródou bližšie ku mediálnej rovine. Čísla 10 a 20 hovoria o 10% alebo 20% vzdialenosť medzi jednotlivými elektródami z celkovej *uhlovej (chordálnej) vzdialenosťi* medzi použitými referenčnými landmarkami *nasion – inion* na mediálnej referenčnej krivke a *ľavý preauriculare – pravý preauriculare* na centrálnej koronálnej referenčnej krivke. Ide o systém **ACNS** (American Clinical Neurophysiology Society) a je vysoko kompatibilný so systémom navrhnutým **IFCN** (International Federation of Clinical Neurophysiology)

Stanislav Katina

Štatistická analýza tvaru a obrazu

## Example 9

Analýza tvaru EEG – definícia UI 10-10, 10-20 a 10-5 systému elektród

### Definition (Referenčné landmarky—nesprávne definície bodu *tragion*)

- ① depresia koreňa jarmového oblúka anteriérne od *tragusu* v preaurikulárnej oblasti
- ② kolmá projekcia centoidu špičky *tragusu* na jeho anteriórny koreň
- ③ centroid oblasti hrany *tragusu* v okolí jeho špičky
- ④ horný okraj *porus acusticus externus* kolmo nad jeho stredom, čo je v podstate definícia bodu *porion*

**Tabuľka:** Reliabilita bodov *nasion*, *inion* a *auriculare* v mm (cf. Katina a kol., 2012); reliabilita vysoká – celková chyba pod 2 mm, reliabilita stredná – celková chyba [2,5] mm, reliabilita nízka – celková chyba nad 5 mm vrátane

landmark	os x	os y	os z	celkovo	reliabilita	chyba
<i>nasion</i>	0.57	0.58	0.69	1.84	vysoká	nízka
<i>inion</i>	1.29	9.91	5.69	16.89	nízka	veľká
<i>ľavý auriculare</i>	3.29	9.56	4.64	17.49	nízka	veľká
<i>pravý auriculare</i>	2.85	10.4	3.68	16.89	nízka	veľká

Stanislav Katina

Štatistická analýza tvaru a obrazu

## Example 9

Analýza tvaru EEG – definícia UI 10-10, 10-20 a 10-5 systému elektród

### Definition (Referenčné landmarky)

- ① ***nasion na pokožke*** (Nz): kolmá projekcia bodu *nasion* na povrch pokožky, kde *nasion* je definovaný ako priesecník *sutura nasofrontalis* s mediánou rovinou
- ② ***inion na pokožke*** (Iz): kolmá projekcia bodu *inion* na povrch pokožky, kde *inion* je definovaný ako bod ležiaci na *protuberantia occipitalis externa* v mieste, v ktorom sa spájajú obe *lineae nuchae superiores*
- ③ ***tragion (preauriculare)*** vľavo/vpravo (LPA/RPA) bod na hornom okraji *tragusu*; ide o projekciu bodu *auriculare* na pokožku, kde bod *auriculare* je najlaterálnejší bod ležiaci na koreni jarmového oblúka, kolmo nad stredom *porus acusticus externus*; v UI 10-10 systéme sú LPA a RPA body označené ako T9 a T10

Stanislav Katina

Štatistická analýza tvaru a obrazu

## Example 9

Analýza tvaru EEG – definícia UI 10-10, 10-20 a 10-5 systému elektród

- dôvodom vysokej reliabilitu bodu *nasion* je jeho zaradenie do ***Typu 3b***, kde ide o priesecník nejakej pozorovanej krivky a mediálnej roviny s vysokou viditeľnosťou *sutura nasofrontalis*
- s bodom *nasion* je však spojený sexuálny dimorfizmus a tento bod je na kosti ale aj na lebke ľahšie rozpoznateľný u žien kvôli menšiemu zarezaniu koreňa nosa; preto reliabilita bodu *nasion* na pokožke môže byť horšia prevažne v smere osi y
- na rozdiel od bodu *nasion* má *inion* nízku reliabilitu (aj napriek zaradeniu do ***Typu 3b***) kvôli nízkej viditeľnosti (zachovalosti) oboch *lineae nuchae superiores*; problém môže nastaviť u žien a u mužov, ktorí nemajú dobre vyvinutú *protuberantia occipitalis externa*; Ak sú vyššie spomenuté anatomické štruktúry cez pokožku mälo zreteľné, je potrebné ich polohu odhadnúť pomocou okolitých anatomických štruktúr ako napr. úponov *musculus trapezius*
- bod *auriculare* je hybridom ***Typu 4 a Typu 6*** (Typ 4: (semi)landmarky chrbotovej (hrebeňovej) krivky a symetrickej krivky (v mediálnej rovine)); Typ 6: skonštruované (semi)landmarky)

Stanislav Katina

Štatistická analýza tvaru a obrazu

## Example 9

Analýza tvaru EEG – definícia UI 10-10, 10-20 a 10-5 systému elektród

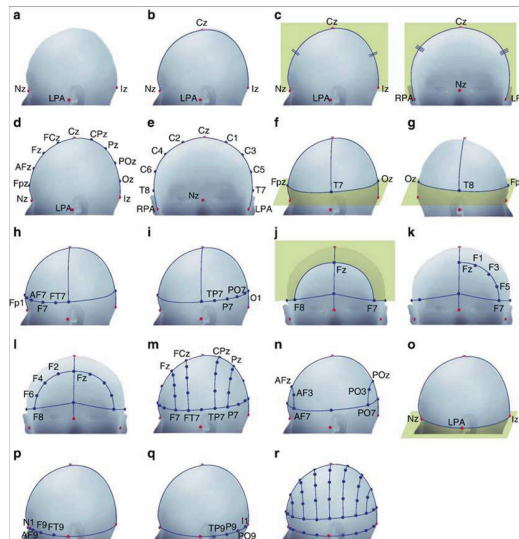
- naviac reliabilita bodov *inion* a *auriculare* je skomplikovaná ich projekciou na pokožku, čo ich viditeľnosť výrazne znižuje v závislosti od hrúbky pokožky
  - bod *auriculare* sa preto nahrádza bodom *preauriculare* (*tragion*)
  - problémy nastávajú v prípade nesprávneho pochopenia definície alebo použitia inej nesprávnej definície, kedy ide o **systematickú chybu merania**, t.j. chybu z odlišnej aplikácie techniky merania (rôzne pochopenie definície meranej miery), intraindividuálnu a interindividuálnu chybu (iné držanie prístroja, iný tlak aplikovaný pri meraní, iná orientácia hlavy pri meraní a pod.)
  - na základe vyššie spomenutého je nutné konštatovať, že je potrebné striktne dodržiavať zaužívané antropologické definície anatomických landmarkov podľa Farkasa (1994); Fettera (1967); Bräuera (1988); Martina, Sallera (1957); Kuželku (1999) a Drozdovej (2004)

Stanislav Katina

Štatistická analýza tvaru a obrazu

## Example 9

Analýza tvaru EEG – definícia UI 10-10, 10-20 a 10-5 systému elektród



Obrázok: Sekvencia výpočtu súradníc (semi)landmarkov

Stanislav Katina

Štatistická analýza tvaru a obrazu

## Example 9

Analýza tvaru EEG – definícia UI 10-10, 10-20 a 10-5 systému elektród

Definition (Sekvenčný postup odhadu polohy elektód EEG)

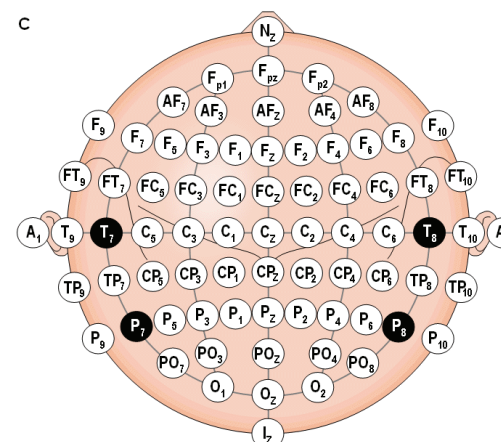
- 1 Stanoveniu **referenčných (hlavných, centrálnych) kriviek**, kde ide o krivky definované ako prienik povrchu pokožky hlavy s rovinou určenou troma **uzlovými bodmi (uzlovými landmarkami)**
  - 2 krivky sú následne delené na **ekvidistantné úseky** ďalšími bodmi, ktoré nazývame **semilandmarky** (ide o **Typ 4: (semi)landmarky chrbtovej (hrebeňovej) krivky a symetrickej krivky (v mediálnej rovine)**), kde je ale potrebné dodefinovať túto skupinu o **(semi)landmarky pozorovanej krivky**)
  - 3 Systém odhadovania kriviek je **sekvenčný**, t.j. najprv sa odhadne 1) **mediánna referenčná krivka**, potom 2) **centrálna koronálna referenčná krivka**, ďalej 3) **10% axiálna referenčná krivka** a nakoniec šesť koronálnych referenčných kriviek – 4) **frontálna koronálna krivka**, 5) **fronto-centrálna/temporálna koronálna krivka**, 6) **temporo/centro-parietálna koronálna krivka**, 7) **parietálna koronálna krivka**, 8) **anterio-frontálna koronálna krivka**, 9) **parieto-okcipitálna koronálna krivka** a 10) **0% axiálna referenčná krivka**

Stanislav Katina

Štatistická analýza tvaru a obrazu

## Example 9

Analýza tvaru EEG – definícia UI 10-10, 10-20 a 10-5 systému elektrod



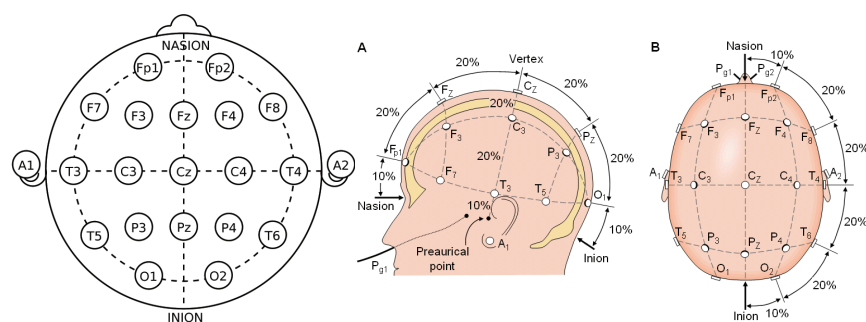
Obrázok: UI 10-20 systém pozícií elektród EEGs  $k = 81$  elektródamí

Stanislav Katina

Štatistická analýza tvaru a obrazu

## Example 9

Analýza tvaru EEG – definícia UI 10-10, 10-20 a 10-5 systému elektród



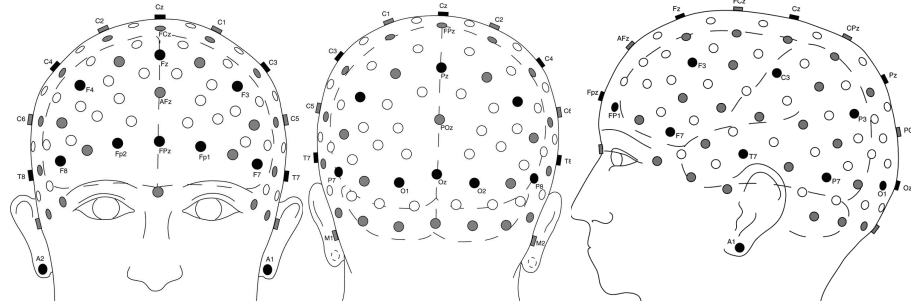
Obrázok: UI 10-20 systém pozícíí elektród EEG s  $k = 19$  elektródami

Stanislav Katina

Štatistická analýza tvaru a obrazu

## Example 9

Analýza tvaru EEG – definícia 10-10, 10-20 a 10-5 systému elektród



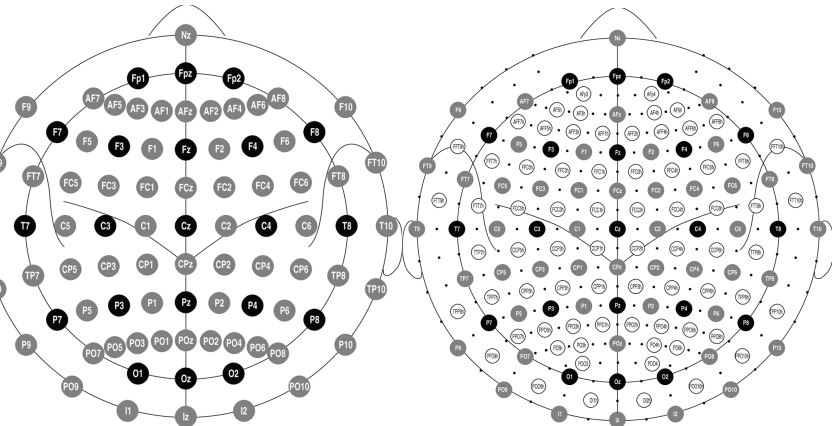
Obrázok: UI 10-5 systém pozícíí elektród EEG s  $k = 329$  elektródami [čierna farba—pozície v 10 – 10 systéme]

Stanislav Katina

Štatistická analýza tvaru a obrazu

## Example 9

Analýza tvaru EEG – definícia 10-10, 10-20 a 10-5 systému elektród



Obrázok: UI 10-5 systém pozícíí elektród EEG s  $k = 329$  elektródami [čierna farba—pozície v 10 – 20 systéme (vľavo), pozície v 10 – 10 systéme (vpravo)]

Stanislav Katina

Štatistická analýza tvaru a obrazu

## Example 9

Analýza tvaru EEG – definícia UI 10-10, 10-20 a 10-5 systému elektród

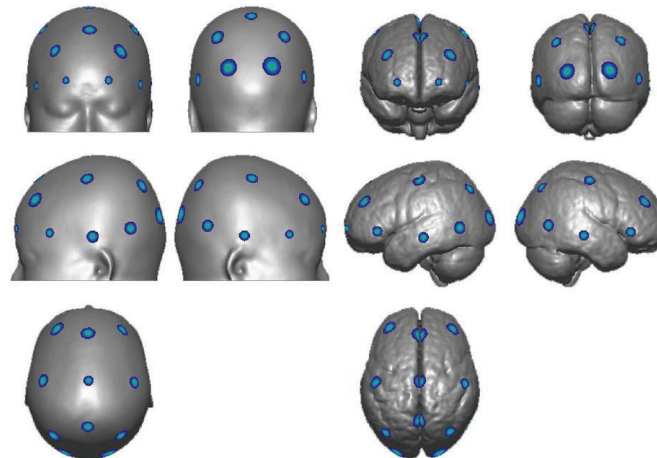
- ak zaznamenávame detailnejšie EEG s viacerými elektródami ďalšie elektródy sú pridávané do priestoru medzi už existujúcimi elektródami 10-20 systému
- tento modifikovaný systém je komplikovanejší a dal vznik **MCN** (Modified Combinatorial Nomenclature)
- UI 10-20 systém je prostriedkom na **registráciu** (Okamoto a kol., 2004; Okamoto, Dan, 2005) landmarkov na povrchu pokožky hlavy do **štandardizovaného stereotaktického súradnicového systému mozgu** ako je **MNI** (Montreal Neurological Institute; Brett a kol., 2002; Friston a kol., 1995) alebo **Talairach systém** (Talairach a kol., 1988) bez použitia MR (magnetic resonance) obrazu sledovaného človeka
- tento systém je akousi **konvenčiou tomografických zobrazovacích techník mozgu** ako napr. **fMRI** (functional Magnetic Resonance Imaging) a **PET** (Positron Emission Tomography) a je základom registrácie **fNIRS** (near-infrared spectroscopy) a **TMS** (transcranial magnetic stimulation) dát do tvarového priestoru, v ktorom sa nachádza **vzor mozgu** (brain template), a tým sa stáva jednotným základom pre všetky zobrazovacie techniky mozgu v neurologickej komunité vedcov

Stanislav Katina

Štatistická analýza tvaru a obrazu

## Example 9

Analýza tvaru EEG – definícia UI 10-10, 10-20 a 10-5 systému elektród



Obrázok: Štandardizovaný vzor (template) MNI152 (ICBMI152; International Consortium for Brain Mapping)

Stanislav Katina

Štatistická analýza tvaru a obrazu

## Example 9

Interpoľačný a vyhľadzovací regresný splajn

### Example

Nech  $\mathbf{X}$  je projekcia súradník  $k = 19$  pozícii elektród v UI 10-20 systéme do kruhu v rovine, ktorého hranice tvoria landmarky *inion*, ľavý *preauriculare*, *nasion* a pravý *preauriculare* (viď. obrázok). Nech  $\mathbf{y}$  je elektrický signál meraný na týchto  $k = 19$  elektródoch. Majme penalizovaný regresný model [PRM2]

$$\mathbf{y}_P = \begin{pmatrix} \mathbf{y} \\ \mathbf{0}_{k+3} \end{pmatrix} = \mathbf{X}_P \beta + \epsilon, \mathbf{X}_P = \begin{pmatrix} \mathbf{X}_{dm} \\ \sqrt{\lambda} \mathbf{R} \end{pmatrix}, \mathbf{S}_P = \begin{pmatrix} \mathbf{0}_{3 \times 3} & \mathbf{0}_{3 \times k} \\ \mathbf{0}_{k \times 3} & \mathbf{S} \end{pmatrix},$$

kde  $\mathbf{X}_{dm} = (\mathbf{1}_k : \mathbf{X} : \mathbf{S})$  je **penalizovaná časť matice plánu**,  $(\mathbf{S})_{ij} = \phi(\mathbf{x}_i - \mathbf{x}_j)$ ,  $\phi(\mathbf{x}) = \|\mathbf{x}\|_2^2 \log(\|\mathbf{x}\|_2^2)$ ,  $\forall \|\mathbf{x}\|_2 > 0$ , ak  $\|\mathbf{x}\|_2 = 0$ , potom  $\phi(\mathbf{x}) = 0$ ;  $\mathbf{S}_P = \mathbf{R}^T \mathbf{R}$  a  $\sqrt{\lambda} \mathbf{R}$  je **penalizovaná časť matice plánu**. Potom penalizovanú sumu štvorcov budeme písť v tvare  

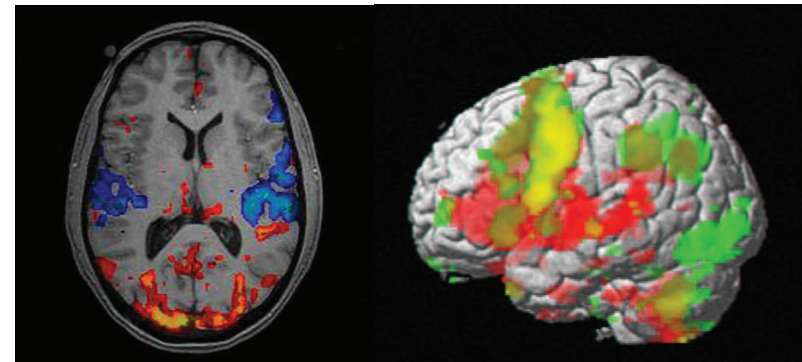
$$SS_{pen} = (\mathbf{y} - \mathbf{X}_{dm} \beta)^T (\mathbf{y} - \mathbf{X}_{dm} \beta) + \lambda \beta^T \mathbf{S}_P \beta = \mathbf{y}^T \mathbf{y} - 2\beta^T \mathbf{X}_{dm}^T \mathbf{y} + \beta^T (\mathbf{X}_{dm}^T \mathbf{X}_{dm} + \lambda \mathbf{S}_P) \beta.$$

Stanislav Katina

Štatistická analýza tvaru a obrazu

## Example 9

fMRI



Obrázok: fMRI

Stanislav Katina

Štatistická analýza tvaru a obrazu

## Example 9

Analýza tvaru EEG – 10-20 systému elektród

Pozn.: Po derivovaní  $SS_{pen}$  podľa  $\beta$  a položení tejto prvej derivácie rovné nule, dostaneme  $(\mathbf{X}_{dm}^T \mathbf{X}_{dm} + \lambda \mathbf{S}_P) \hat{\beta} = \mathbf{X}_{dm}^T \mathbf{y}$ , odkiaľ  $\hat{\beta} = (\mathbf{X}_{dm}^T \mathbf{X}_{dm} + \lambda \mathbf{S}_P)^{-1} \mathbf{X}_{dm}^T \mathbf{y}$ , "hat" (projekčná) matica  $\mathbf{A} = \mathbf{X}_{dm} (\mathbf{X}_{dm}^T \mathbf{X}_{dm} + \lambda \mathbf{S}_P)^{-1} \mathbf{X}_{dm}^T$  a potom  $\hat{\mathbf{y}} = \mathbf{A} \mathbf{y}$ . Efektívnejšie je použiť funkciu `lm(yp~Xp-1)` použitím vektora  $\mathbf{y}_P$  a matice  $\mathbf{X}_P$  z modelu PRM3.

	FP1	FP2		1	2	
F7	F3	Fz	F4	F8		
					11	3 17 4 12
T3	C3	Cz	C4	T4		
					13	5 18 6 14
T5	P3	Pz	P4	T6		
					15	7 19 8 16
O1	O2					9 10
						channels
						labels

Obrázok: UI 10-20 systém pozícii elektród EEG s  $k = 19$  elektródami

Stanislav Katina

Štatistická analýza tvaru a obrazu

## Example 9

Analýza tvaru EEG – 10-20 systému elektród



**Obrázok:** TPS sieť farebných štvoruholníkov s farbami korešpondujúcimi vyhladeným hodnotám plochy superponovanými kontúrami (použitím optimálnej  $\lambda$  vypočítanej pomocou GCV)

Stanislav Katina

Štatistická analýza tvaru a obrazu

## Example 9

Analýza tvaru EEG – 10-20 systému elektród

### Example

Majme interpolačný model [IM2; thin-plate splajn, TPS] ( $f : \mathbb{R}^2 \rightarrow \mathbb{R}$ )

$$\begin{pmatrix} \mathbf{y} \\ 0 \\ 0 \end{pmatrix} = \begin{pmatrix} \mathbf{S} & \mathbf{1}_k & \mathbf{X} \\ \mathbf{1}_k^T & 0 & \mathbf{0} \\ \mathbf{X}^T & \mathbf{0} & \mathbf{0} \end{pmatrix} \begin{pmatrix} \mathbf{w} \\ c \\ \mathbf{a} \end{pmatrix},$$

kde  $\mathbf{X} = (\mathbf{x}_1, \dots, \mathbf{x}_k)^T$  a  $\mathbf{y} = (y_1, \dots, y_k)^T$ ,  $(\mathbf{S})_{ij} = \phi(\mathbf{x}_i - \mathbf{x}_j)$ ,  $\phi(\mathbf{x}) = \|\mathbf{x}\|_2^2 \log(\|\mathbf{x}\|_2^2)$ ,  $\forall \|\mathbf{x}\|_2 > 0$ , ak  $\|\mathbf{x}\|_2 = 0$ , potom  $\phi(\mathbf{x}) = 0$ . Tento model by bolo možné aplikovať na dátá z Príkladu 9, avšak v praxi sa predpokladá výskyt odľahlých pozorovaní kvôli napr. možným nedolahnutým elektródam k pokožke hlavy. Preto je lepšie použiť PRM2.

**Problém:** Sú jednotlivé pozície elektród systému UI 10-20 nejakého subjektu biologicky a geometricky homologické ku štandardizovanému vzoru MNI152? [Neberieme do úvahy štyri landmarky.]

NIE !!!

Stanislav Katina

Štatistická analýza tvaru a obrazu